

## کاربرد معادلات اولر در تعیین ضریب دبی سرریزهای تاج دایره‌ای

سارا باقری<sup>۱</sup> و منوچهر هیدرپور<sup>۲\*</sup>

<sup>۱</sup>دانشجوی کارشناسی ارشد آبیاری و زهکشی و <sup>۲</sup>دانشیار گروه مهندسی آب، دانشکده کشاورزی، دانشگاه صنعتی اصفهان

### چکیده

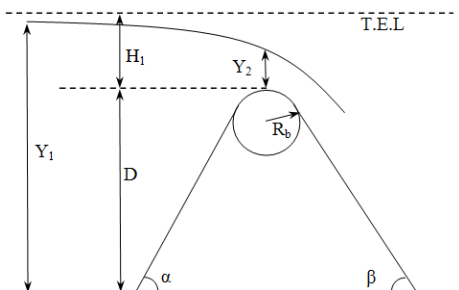
در سیستم‌های انتقال و توزیع آب، سرریزهای تاج دایره‌ای به دلیل اقتصادی بودن و سهولت ساخت در مقایسه با سایر سرریزها می‌توانند برای اندازه‌گیری شدت جریان، ساختمان‌های تخلیه آب و کنترل سطح آب در کanalها و مخازن مورد استفاده قرار گیرند. در این مطالعه با کارگیری معادلات اولر ساده شده رابطه‌ای به منظور تعیین ضریب دبی سرریزهای تاج دایره‌ای ارائه گردید. نیمروز توزیع سرعت و مدل ریاضی ضریب دبی با استفاده از داده‌های آزمایشگاهی به دست آمده از مدل‌های سرریز تاج دایره‌ای فاقد دیواره و مدل‌های دارای دیواره‌های قائم، با ارتفاع و شعاع‌های مختلف مورد ارزیابی قرار گرفتند. نتایج ارزیابی نشان داد که هم‌خوانی خوبی بین نیمروز سرعت به دست آمده از مدل پیشنهادی و نیمروز حاصل از اندازه‌گیری‌های آزمایشگاهی وجود دارد. با محاسبه ضرایب دبی از رابطه پیشنهادی و نیز تعیین ضرایب دبی واقعی و مقایسه این دو مقدار، مشاهده شد که میزان خطای ناشی از این روش در برآورد ضریب دبی سرریزهای تاج دایره‌ای در حدود ۳ درصد می‌باشد.

**واژه‌های کلیدی:** سرریز تاج دایره‌ای، ضریب دبی، انحنای خطوط جریان، نیمروز سرعت

به منظور تعیین ضریب دبی در این نوع از سرریزها مطالعاتی توسط محققین مختلف صورت گرفته است که از جمله می‌توان به تئوری Matthew (۱۹۶۳) اشاره کرد. وی تئوری ساده‌ای را ارائه نمود که در آن تأثیرات کشش سطحی، ویسکوزیته و شعاع انحنای خطوط جریان روی ضریب دبی بیان شده است. Cassidy (۱۹۶۵) مدل جریان سیال ایده‌آل را روی سرریزهای تاج دایره‌ای و سرریزهای استوانه‌ای (سرریزهای تاج دایره‌ای فاقد دیواره بالا دست و پایین دست) مطالعه نمود. تأثیر کشش سطحی بر ضریب دبی توسط Sarginson (۱۹۷۲) مطالعه گردیده است. وی رابطه‌ای جهت تعیین ضریب دبی در محدوده  $4 < H_l/R_b < 2$  بیان نمود. Bos (۱۹۸۹) با تحلیل داده‌های موجود از منابع مختلف نموداری بر اساس ضریب دبی و پارامتر  $R_b/H_l$  برای سرریزهای تاج دایره‌ای با زاویه پایین-دست  $\beta = 45^\circ$  ارائه کرد. وی نشان داد که ضریب دبی از کمترین مقدار خود یعنی  $C_d = 0.64$  برای  $H_l/R_b = 0.05$  تا بیشترین مقدار خود یعنی  $C_d = 1.48$  برای  $H_l/R_b = 5.5$  برای  $5.5 < H_l/R_b < 9.5$  متغیر است و ضریب دبی در محدوده  $9.5 < H_l/R_b < 14$  تغییر چندانی نمی‌کند. Ramamurthy et al. (۱۹۹۲) با به کار بردن معادله اندازه حرکت، ضریب انحراف از فشار هیدرولاستاتیک جریان را روی تاج یک سرریز تاج دایره‌ای به دست آورند. Ramamurthy & Vo (۱۹۹۳a) با به کارگیری تئوری درسلر، توزیع سرعت روی سرریز تاج دایره‌ای را به دست آورده و رابطه بدون بعدی برای ضریب جریان ارائه دادند. تأثیر شیب بالا دست و پایین دست بر ضریب دبی سرریزهای تاج

### مقدمه

سرریزهای تاج دایره‌ای برای اندازه‌گیری جریان مورد استفاده قرار می‌گیرند و کاربرد وسیعی در مهندسی هیدرولیک به عنوان ساختمان‌های تخلیه آب داشته و می‌توانند برای کنترل سطح آب در کanalها و مخازن مورد استفاده قرار گیرند. برتری سرریزهای تاج دایره‌ای نسبت به بیشتر سازه‌های اندازه‌گیری و کنترل جریان، سادگی طراحی، زیاد بودن ضریب دبی، جریان پایدار و در مقایسه بزرگ هزینه کمتر آنها می‌باشد. به طور ساده یک سرریز تاج دایره‌ای عبارت است از تاجی به شکل دایره با شعاع  $R_b$  که دیواره‌های بالا دست و پایین دست آن با افق زوایای  $\alpha$  و  $\beta$  را تشکیل می‌دهند و به صورت عمود بر جهت جریان نصب می‌شوند (شکل ۱).



شکل ۱- مشخصات هیدرولیکی و هندسی سرریز تاج دایره‌ای

روی سطوح منحنی رابطه‌ای تئوری جهت تعیین ضریب دبی سرریزهای لبه‌گرد در حالتی که  $H_1/H_D \geq 2$  می‌باشد، ارائه نمود. وی  $H_D$  را به عنوان هد طراحی سرریز مطرح نمود و مقدار  $1.7R_b$  را برای آن در نظر گرفت. در جدول (۱) تعدادی از روابط موجود برای تعیین ضریب دبی سرریزهای تاج دایره‌ای ارائه گردیده است.

به طور کلی جریان منحنی الخط روی تاج این نوع سرریزها، پیچیدگی مسئله را برای مقاصد تئوری و عملی به دنبال خواهد داشت. در تئوری حاضر با استفاده از معادلات اولر ساده شده، رابطه‌ای جهت تعیین ضریب دبی سرریزهای تاج دایره‌ای ارائه می‌گردد.

دایره‌ای توسط Vo (۱۹۹۳b) Ramamurthy & (۱۹۹۴) Ramamurthy et al. میدان جریان را روی یک سرریز تاج دایره‌ای به دست آورده و با استفاده از این داده‌ها وجود جریان غیر چرخشی را روی تاج سرریز اثبات و الگو، شبیه Chanson & Montes (۱۹۹۸) با مطالعه تأثیر وضعیت جریان بالا در سرریزهای استوانه‌ای معادلاتی را برای ضریب دبی جریان‌های کاملاً توسعه یافته و نیمه توسعه یافته ارائه کردند. Heidarpour & Chamani (۲۰۰۶) با به کارگیریتابع جریان در اطراف سیلندر دایره‌ای شکل، توزیع سرعت روی تاج را تعیین و یک مدل ریاضی برای تعیین ضریب جریان در سرریزهای تاج دایره‌ای ارائه نمودند. Orgaz (۲۰۰۸) با استفاده از معادلات جریان پتانسیل

جدول ۱- روابط تعیین ضریب دبی سرریزهای تاج دایره‌ای

نام محقق	داده‌های مدل در Sarginson (۱۹۷۲)	ملاحظات	رابطه ارائه شده
Rehbock (1929)			$C_d = 0.552 + 0.177 \sqrt{30 - \left(5 - \frac{H_1}{R_b}\right)^2}$ ارائه شده است.
Jeager (1956)		نتایج تئوری با داده‌های مدل	$C_d = \frac{3}{2} \left( \frac{R_b}{H_1} + \frac{4}{3} - \sqrt{\left(\frac{R_b}{H_1}\right)^2 + \frac{4}{3} \times \frac{R_b}{H_1}} \right)$
Matthew (1963)		$\alpha = 90^\circ, R_b = 0.0254\text{m}, 0.1 < \frac{H_1}{R_b} < 1.0$	$C_d = 1 + 0.23 \frac{H_1}{R_b} - 0.01 \left( \frac{H_1}{R_b} \right)^2 - 0.0154 \frac{R_b}{H_1}$
Montes (1964)		$\alpha = 45^\circ, R_b = 0.0254\text{m}, 0.1 < \frac{H_1}{R_b} < 1.0$	$C_d = 1 + 0.24 \frac{H_1}{R_b} - 0.028 \left( \frac{H_1}{R_b} \right)^2 - 0.0184 \frac{R_b}{H_1}$
Rouve and Indlekofer (1974)	$D = 2R_b, 0.05 < \frac{H_1}{R_b} < 1.2$	داده‌های مدل نیم دایره‌ای شکل با هاده‌ی.	$C_d = 1.169 \left( \frac{H_1}{R_b} \right)^{\frac{1}{6}}$
Hager (1985)	$W = 0.599\text{ m}, 0.0102 \leq R_b \leq 0.148\text{ m}, 0.21 \leq D - R_b \leq 0.96\text{ m}, \frac{H_1}{R_b} < 4.0$	$\frac{H_1}{R_b} > 4, \Omega = 4.5, H_1 / R_b < 5$	$C_d = 0.9444 + 0.35497 \frac{H_1}{R_b} - 0.10791 \left( \frac{H_1}{R_b} \right)^2 + 0.010309 \left( \frac{H_1}{R_b} \right)^3$
Heidarpour and Chamani (2006)	$V_0 = \sqrt{2gH_1}$	مدل‌های نیم دایره‌ای با دیواره قائم و استوانه‌ای	$C_d = 1 + \frac{3(H_1 / R_b)}{11 + \Omega(H_1 / R_b)}$
			$C_d = \frac{3\sqrt{3}}{4} \frac{R_b}{H_1} \frac{V_b}{V_0} \left( \frac{2 + Y_2/R_b}{1 + R_b/Y_2} \right)$

## مواد و روش‌ها

### الف- رابطه پیشنهادی

به منظور توسعه رابطه‌ای برای تعیین ضریب دبی سه فرض مد نظر قرار گرفتند، اول اینکه جریان در بالا درست سرریز یکنواخت، دو بعدی و زیر بحرانی است. دوم، ضخامت لایه مرزی روی تاج سرریز (۸) در مقایسه با مقادیر  $Y_2$  و  $H_1$  ناچیز بوده و سوم اینکه اثر کشش سطحی و لزجت سیال بر خصوصیات جریان قابل چشم‌پوشی می‌باشد.

خطوط جریان در راستای نرمال می‌باشد. با تعریف پارامتر

$$\lambda = \frac{R_s - R_b}{N}$$

$$R = R_b + \lambda n \quad (6)$$

و با جایگذاری رابطه (6) در رابطه (4) داریم:

$$\frac{\partial V}{\partial n} = \frac{V}{R_b + \lambda n} \quad (7)$$

با انتگرال‌گیری از رابطه (7) در بازه  $[0-n]$  رابطه زیر برای تعیین سرعت در هر نقطه از راستای نرمال به دست می-آید:

$$V = V_b \left( 1 + (r-1) \frac{n}{N} \right)^{\frac{1}{\lambda}} \quad (8)$$

که در این رابطه  $V_b$  سرعت در نزدیکی بستر و  $r = R_s/R_b$  می‌باشد.

هرچه میزان  $H_1/R_b$  افزایش می‌یابد مرکز انحنای خطوط جریان در بالای نقطه C از مرکز سرریز دور می‌شود، به همین منظور تعیین پارامتر N برای محاسبه شعاع انحنای سطح آب ضروری می‌باشد. Hager & Hutter (1984) رابطه زیر را برای تعیین پارامتر N بر روی تاج سرریز ارائه کردند:

$$\frac{Y_2}{N} = 1 + \frac{h^2}{3} \quad (9)$$

که در این رابطه  $h'$  مشتق اول عمق جریان ( $h$ ) نسبت به فاصله افقی ( $x$ ) و  $h$  عمق عمودی جریان در راستای بردار نرمال می‌باشد (شکل ۳).

Hager (1985) رابطه زیر را برای تخمین پارامتر  $h'$  در سرریزهای تاج دایره‌ای بیان نمود:

$$h' = \left( \frac{h}{3R_b} \right)^{\frac{1}{2}} \quad (10)$$

از رابطه زیر برای تعیین h در سرریزهای تاج دایره‌ای می‌توان بهره جست (Hager, 1985):

$$H_1 = \frac{3h}{2} \left( 1 - \frac{5h}{81R_b} \right) \quad (11)$$

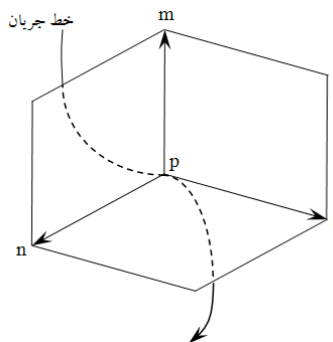
در مقادیر پایین هد می‌توان از ترم آخر رابطه (11) صرف نظر نموده و در نتیجه خواهیم داشت:

$$\frac{N}{Y_2} = \frac{27R_b}{27R_b + 2H_1} \quad (12)$$

با ترکیب روابط (6) و (12) رابطه زیر حاصل خواهد شد:

$$R_s = R_b + \lambda Y_2 \left( \frac{27R_b}{27R_b + 2H_1} \right) \quad (13)$$

بنابر نظر Ramamurthy et al. (1994) جریان روی سرریز در ناحیه خارج از لایه مرزی غیرچرخشی بوده و به این ترتیب بار کل در طول AC ثابت می‌باشد (شکل ۳). در نقطه C' جایی که  $y = \delta$  و  $V = V_b$  است با استفاده از فرض (3) و



شکل ۲- نمایی از یک خط جریان در سیستم مختصات سه بعدی بر اساس روابط دینامیک سیالات غیر لزج، معادلات اولر برای جریان منحنی الخط در راستای n و s به صورت زیر می-باشد(Bos, 1989)

$$V \frac{\partial V}{\partial s} = - \frac{1}{\rho} \frac{\partial P}{\partial s} - g \frac{\partial z}{\partial s} \quad (1)$$

$$\frac{V^2}{R} = - \frac{1}{\rho} \frac{\partial P}{\partial n} - g \frac{\partial z}{\partial n} \quad (2)$$

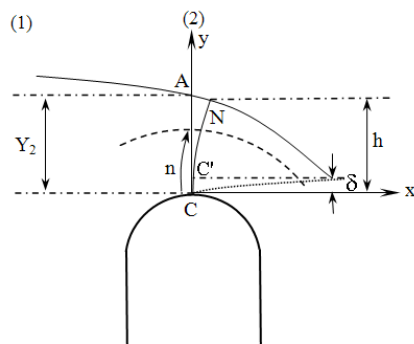
که در این روابط  $V$  سرعت جریان،  $P$  فشار،  $R$  شعاع انحنای خطوط جریان،  $n$  چگالی،  $g$  ستایش قلل و  $z$  موقعیت عمودی نقطه اندازه‌گیری شده از یک مبنای اختیاری ثابت است.

با در نظر گرفتن  $g = \rho \times \gamma$  و انتگرال‌گیری از رابطه (1)

$$H_1 = z + \frac{P}{\gamma} + \frac{V^2}{2g} \quad (3)$$

در این رابطه  $H_1$  ارتفاع معادل انرژی کل می‌باشد. با حذف  $P$  از معادله (2) و (3) (Hager & Hutter, 1984)

$$\frac{\partial V}{\partial n} = \frac{V}{R} \quad (4)$$

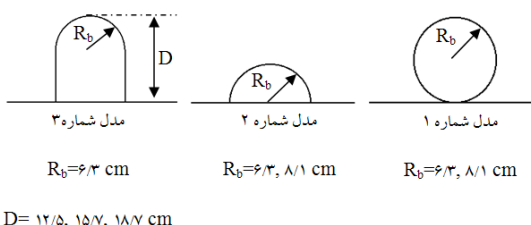


شکل ۳- مختصات جریان عبوری از روی یک سرریز تاج دایره‌ای رابطه (5) ارتباط شعاع انحنای خطوط جریان در هر نقطه واقع بر روی تاج سرریز و عمق نرمال در آن نقطه را نشان می-دهد. در این رابطه  $R_s$  شعاع تاج سرریز و  $R$  شعاع انحنای سطح آب می‌باشد.

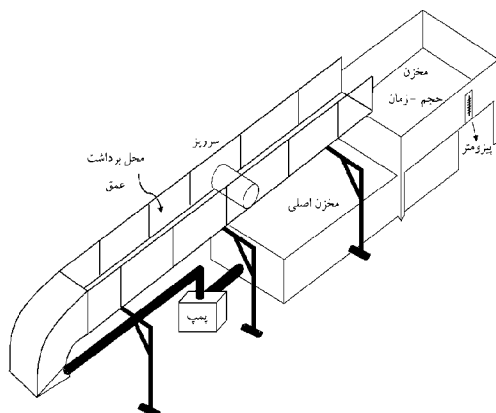
$$R = R_b + (R_s - R_b) \frac{n}{N} \quad (5)$$

در رابطه (5) نسبت  $n/N$  نشان‌دهنده مختصات بدون بعد

حداکثر تفاوت این دو روش نیز در حدود ۲ درصد به دست آمد. همچنین به منظور اطمینان از توسعه یافته‌گی جریان، پروفیل سرعت در بالادست مدل‌ها برداشته شد.



شکل ۴- مشخصات هندسی مدل‌های مورد آزمایش



شکل ۵- نمای فلوم آزمایشگاهی مورد استفاده

## نتایج و بحث

نتایج حاصل از آزمایش‌ها نشان داد که مقدار ضریب  $\lambda$  در بازه  $1.2 \leq H_1/R_b \leq 0.55$  از رابطه (۱۹) قابل محاسبه است (شکل ۶). دلیل منفی بودن این پارامتر وجود انحنای محدب واقع بر روی تاج سرریز می‌باشد چرا که بردار نرمال از خارج به سمت مرکز انحنای خطوط جریان و شعاع از مرکز انحنای به سمت خارج از انحنای خطوط جریان تعریف می‌شود و در نتیجه این دو پارامتر در جهت معکوس یکدیگر عمل نموده و سبب منفی شدن پارامتر  $\lambda$  که به صورت نسبت  $N/(R_s - R_b)$  (شکل ۷) بیان شده است، می‌شوند.

$$\lambda = 5.875 \left( \frac{H_1}{R_b} \right)^{-1.69} \quad (19)$$

با محاسبه مقدار  $\lambda$  از رابطه (۱۹) و جایگذاری آن در رابطه (۱۸) جهت تخمین ضریب دبی، مشاهده شد که مقدار انحراف  $C_d$  محاسباتی از  $C_d$  واقعی در حدود ۳ درصد می‌باشد (شکل ۷).

شکل (۸) تغییرات ضریب دبی با نسبت  $H_1/R_b$  را نشان می‌دهد. در این شکل روابط Matthew (۱۹۶۳) و Rehbock (۱۹۲۹) و همچنین نتایج آزمایشگاهی

به کار بردن معادله انرژی بین مقاطع (۱) و (۲) خواهیم داشت:

$$H_1 = \delta + \frac{V_b^2}{2g} + \left[ \left( \frac{P}{\gamma} \right)_{crest} - \frac{dP}{\gamma dy} \delta \right] \approx \frac{V_b^2}{2g} + \left( \frac{P}{\gamma} \right)_{crest} \quad (14)$$

با توجه به رابطه فوق،  $V_b$  به صورت زیر قابل محاسبه است:

$$V_b \approx \sqrt{2g(H_1 - \left( \frac{P}{\gamma} \right)_{crest})} \quad (15)$$

با انتگرال گیری از رابطه (۸) در بازه  $[0 - N]$  دبی در واحد عرض سریز توسط رابطه (۱۶) برآورد می‌گردد.

$$q = \frac{V_b R_b}{1 + \lambda} (r^{1+\frac{1}{\lambda}} - 1) \quad (16)$$

همچنین رابطه عمومی سرریزها به شکل زیر می‌باشد (Bos, 1989)

$$q = C_d \frac{2}{3} \sqrt{\frac{2}{3} g H_1^{1.5}} \quad (17)$$

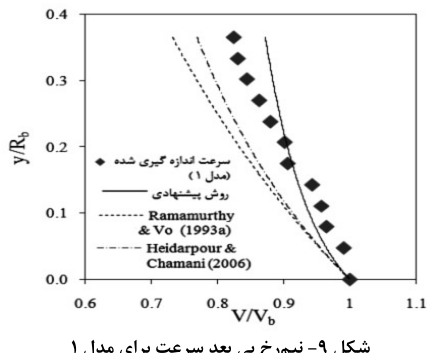
در رابطه فوق  $C_d$  ضریب شدت جریان و  $H_1$  هد کل در بالادست تاج سرریز می‌باشد. با ترکیب روابط (۱۵)، (۱۶) و (۱۷)، رابطه بدون بعد ذیل برای محاسبه ضریب شدت جریان به دست می‌آید:

$$C_d = \frac{3\sqrt{3}}{2} \times \sqrt{\frac{\left( 1 - \left( \frac{P}{\gamma H_1} \right)_{crest} \right)}{1 + \lambda} \times \left( r^{1+\frac{1}{\lambda}} - 1 \right)} \times \left[ \frac{H_1}{R_b} \right] \quad (18)$$

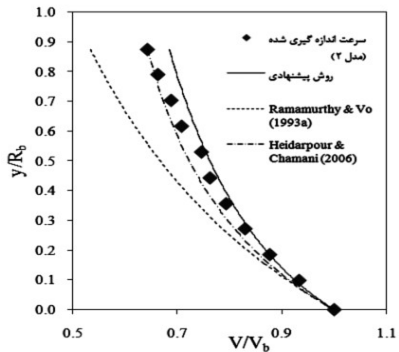
## ب- شرح آزمایش

به منظور تعیین مقدار  $\lambda$  و ارزیابی رابطه ارائه شده، سه نوع مدل سرریز تاج دایره‌ای از جنس P.V.C. با ارتفاع و شعاع‌های متفاوت انتخاب گردیدند (شکل ۴). مدل‌های هیدرولیکی در داخل یک کانال از جنس پلاکسی گلاس به طول ۷ متر، عرض  $0/32$  متر و ارتفاع  $0/35$  متر قرار می‌گرفتند. این کانال به وسیله یک پمپ با حداکثر دبی  $11/5$  لیتر در ثانیه تغذیه می‌شد. آب پس از عبور از کانال به داخل یک مخزن اندازه‌گیری دبی وارد شده که در آن ارتفاع آب توسط پیزومتر نصب شده مشخص و دبی به روش حجم- زمان اندازه‌گیری می‌گردد. خطای اندازه- گیری دبی در حدود ۲ درصد برآورد گردید. اندازه‌گیری تراز سطح آب به وسیله یک عمق سنج با دقت اندازه‌گیری  $0/5$  میلی‌متر انجام گردید. پروفیل سرعت روی تاج سرریز با استفاده از یک لوله پیتو با قطر خارجی دو میلی‌متر اندازه‌گیری شد. کلیه برداشت‌های سرعت روی تاج با فاصله قائم  $4 - 2$  میلی‌متر صورت گرفته و نزدیکترین اندازه‌گیری در فاصله یک میلی- متری از سطح تاج انجام شده است. برای بررسی دقت نیمیرخ سرعت اندازه‌گیری شده، دبی جریان با استفاده از انتگرال گیری از پروفیل سرعت محاسبه و با روش حجم- زمان مقایسه گردید

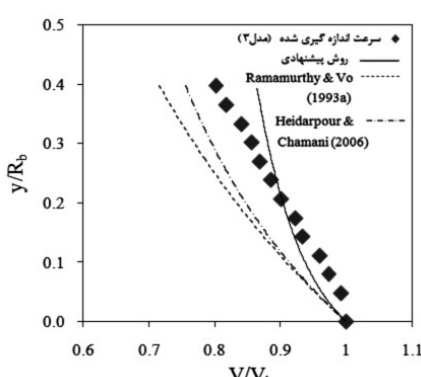
ترسیم شده از روش پیشنهادی همچوایی خوبی با سرعتهای اندازه‌گیری شده دارد. همان‌گونه که از اشکال مشخص است با افزایش مقدار  $H_1/R_b$  مرکز انحنای خطوط جریان واقع بین  $C'$  و  $A$  (شکل ۳) از مرکز سریز فاصله می‌گیرند و در نتیجه فرمول توزیع سرعت درسلر که بر هم مرکز بودن خطوط انحنای جریان دلالت دارد از دقت کمتری برخوردار خواهد شد. لازم به ذکر است که به منظور ترسیم نیمروز سرعت از رابطه (۸) تغییرات  $n/N$  متناسب با تغییرات  $y/Y_2$  در نظر گرفته شد. همچنین برای حذف تأثیرات لایه مرزی سرعت اندازه‌گیری شده در فاصله ۱ میلیمتری از رأس تاج به عنوان سرعت در نزدیکی بستر ( $V_b$ ) مد نظر قرار گرفت.



شکل ۹- نیمروز بی بعد سرعت برای مدل ۱

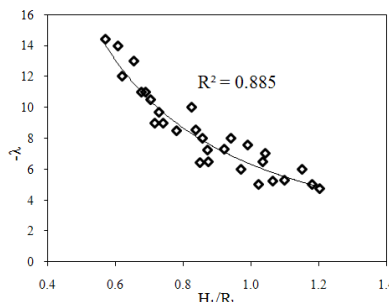
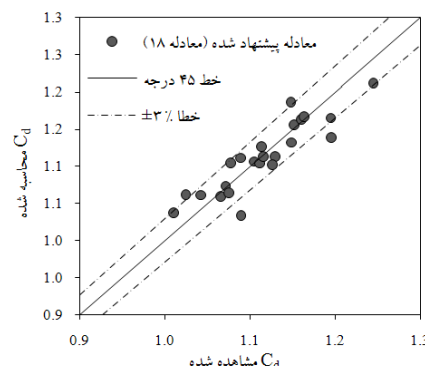


شکل ۱۰- نیمروز بی بعد سرعت برای مدل ۲

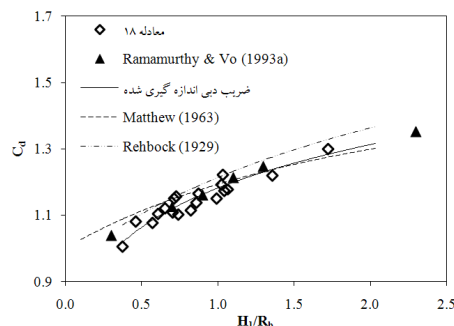


شکل ۱۱- نیمروز بی بعد سرعت برای مدل ۲

(۱۹۹۳a) به منظور مقایسه آورده شده‌اند.

شکل ۶- تغییرات ضریب  $\lambda$ - با مقادیر  $H_1/R_b$ 

شکل ۷- تغییرات ضریب دبی محاسبه شده با ضریب دبی مشاهده شده

شکل ۸- تغییرات ضریب  $C_d$  با نسبت  $H_1/R_b$ 

شکل‌های (۹)، (۱۰) و (۱۱) نیمروزهای سرعت اندازه‌گیری شده برای مدل‌های مورد بررسی و نیمروز سرعت به دست آمده از روش پیشنهادی را نشان می‌دهند. در این شکل‌ها عمق جریان ( $V$ ) و سرعت افقی ( $V_b$ ) بدون بعد شده‌اند. در این اشکال و سرعت در روی تاج ( $V_b$ ) بدون بعد شده‌اند. در این اشکال نیمروزهای سرعت به دست آمده توسط تئوری درسلر (Ramamurthy & Vo, 1993a) و رابطه ارائه شده توسط Heidarpour & Chamani (1993a) به عنوان مقایسه آورده شده‌اند. همان‌گونه که از شکل‌های ترسیم شده مشخص است تمامی روش‌ها کاهش سرعت را از سطح سریز به طرف سطح آب نشان می‌دهند. همچنین بررسی‌ها نشان می‌دهد که نیمروز

## نتیجه گیری

در این مطالعه با به کارگیری معادلات اولر ساده شده یک رابطه تئوری به منظور تعیین ضریب دبی سرریزهای تاج دایره‌ای ارائه گردید. نیمروز توزیع سرعت و مدل ریاضی ضریب دبی با استفاده از داده‌های آزمایشگاهی به دست آمده از مدل‌های سرریز تاج دایره‌ای فاقد دیواره و مدل‌های دارای دیواره‌های قائم، با ارتفاع و شاععهای متفاوت مورد ارزیابی قرار گرفتند. نتایج ارزیابی نشان داد که هم‌خوانی خوبی بین نیمروز سرعت به دست آمده از مدل پیشنهادی و نیمروز حاصل از اندازه‌گیری‌های آزمایشگاهی وجود دارد. همچنین نیمروز به دست آمده از تئوری درسلر همواره مقادیر کمتری را نسبت به اندازه‌گیری‌های آزمایشگاهی دارد. با محاسبه ضرایب دبی از رابطه پیشنهادی و نیز تعیین ضرایب دبی واقعی و مقایسه این دو مقدار، مشاهده شد که میزان خطای ناشی از این روش در حدود ۳ درصد می‌باشد.

## سپاسگزاری

بدینوسیله از جناب آقای اقبال خرمی که داده‌های این تحقیق حاصل زحمات ایشان می‌باشد، قدردانی می‌گردد.

## نمادها

- $h$ : عمق جریان اندازه‌گیری شده از تاج سرریز
- $H_1$ : بار آبی کل اندازه‌گیری شده از تاج سرریز
- $H_D$ : هد طراحی سرریز
- $m$ : راستای عمود بر صفحه مشترک  $n$  و  $s$
- $n$ : ارتفاع آب بر روی تاج سرریز در راستای نرمال (n)
- $n$ : راستای عمود به سمت مرکز انحنای خطوط جریان
- $P$ : فشار
- $\varphi$ : دبی در واحد عرض سرریز
- $R$ : شاعع انحنای خطوط جریان
- $R_b$ : شاعع تاج سرریز
- $R_s$ : شاعع انحنای سطح آب
- $s$ : راستای بردار سرعت
- $V$ : سرعت جریان
- $V_b$ : سرعت ماکریزم واقع در نزدیکی تاج سرریز
- $W$ : عرض کanal
- $Y_1$ : عمق آب در بالادست سرریز
- $Y_2$ : عمق آب روی تاج سرریز
- $z$ : موقعیت عمودی نقطه اندازه‌گیری شده
- $\alpha$ : زاویه دیواره بالادست سرریز با افق
- $\beta$ : زاویه دیواره پایین دست سرریز با افق
- $\gamma$ : وزن مخصوص آب
- $\delta$ : ضخامت لایه مرزی
- $\lambda$ : ضریب تصحیح شاعع انحنای خطوط جریان
- $p$ : چگالی آب

## REFERENCES

- Bos, M. G. (1989). *Discharge measurement structures*. International Institute for Land Reclamation and Improvement, Wageningen, The Netherlands.
- Cassidy, J. J. (1965). Irrotational flow over spillways of finite height. *Journal of Engineering Mechanics Division, ASCE*, 91(6), 155-173.
- Chanson, H. & Montes, J. S. (1998). Overflow characteristics of circular weir. *Journal of Irrigation and Drainage Engineering, ASCE*, 124(3), 152-162.
- Hager, W. H. & Hutter, K. (1984). Approximate treatment of plane channel flow. *Acta Mech.*, 51, 31-48.
- Hager, W. H. (1985). Critical flow condition in open channel hydraulics. *Acta Mech.*, 54, 157-179.
- Heidarpour, M. & Chamani, M. R., (2006). Velocity distribution over cylindrical weir. *Journal of Hydraulic Research, IAHR*, 44(5), 708-711.
- Jaeger, C. (1956). *Engineering fluid mechanics*. Blackie & Son, Glasgow, UK.
- Matthew, G. D. (1963). On the influence of the curvature, surface tension and viscosity on flow over round crested weir. *Proc. Inst. Civil Engineering*, 25, 511-524.
- Montes, J. S. (1964). On the influence of curvature, surface tension and viscosity on flow over round-crested weirs. Discussion. *Proc. Instn. Civil. Engrs., London*, 28, 562-563.
- Orgaz, O. C. (2008). Curvilinear flow over round-crested weirs. *Journal of Hydraulic Research, IAHR*, 46(4), 412-419.
- Ramamurthy, A. S. & Vo, N. D., (1993a). Application of Dressler theory to weir flow. *Journal of Applied Mechanic, ASCE*, 60, 163-166.
- Ramamurthy, A. S. & Vo, N. D. (1993b). Characteristic of circular crested weir. *Journal of Hydraulic Engineering, ASCE*, 119(9), 1055-1063.
- Ramamurthy, A. S., Vo, N. D. & Balachandar, R. (1994). A note on irrotational curvilinear flow past a weir. *Journal of Fluid Engineering, ASME*, 116, 378-381.
- Ramamurthy, A. S., Vo, N. D. & Vera, G. (1992). Momentum model of flow past weir. *Journal of Irrigation and Drainage Engineering, ASCE*, 118(6), 998-994.
- Rehbock, T. (1929). *The river hydraulic laboratory of the technical university of Karlsruhe*. In

- Hydraulic Laboratory Practice, ASME, New York, USA, 111-242.
- Rouve, G. & Indlekofer, H. (1974). Abfluss über geradlinige wehre mit halbkreissf?rmigem überfallprofil. (Discharge over straight weirs with semi-cylindrical crest). *Der Bauingenieur*, 49(7), 250-256. (In German)
- Sarginson, E. J. (1972). The influence of surface tension on weir flow. *Journal of Hydraulic Research*, IAHR, 10 (4), 431-446.

This document was created with Win2PDF available at <http://www.daneprairie.com>.  
The unregistered version of Win2PDF is for evaluation or non-commercial use only.